



تعیین محدوده تاثیر گذاری تنش برشی ضخامتی بر نمودار حد شکل دهی با استفاده از مدل بهبود یافته مارشینیاک - کوزینسکی

احمد غضنفری¹، احمد عاصمپور^{2*}، مصطفی حبیبی¹، رامین هاشمی³

1- دانشجوی کارشناسی ارشد، دانشکده مهندسی مکانیک، دانشگاه صنعتی شریف، تهران

2- استاد، دانشکده مهندسی مکانیک، دانشگاه صنعتی شریف، تهران

3- استادیار، دانشکده مهندسی مکانیک، دانشگاه علم و صنعت ایران، تهران

* تهران، پستی صندوق 11365-9567، assem@sharif.edu

اطلاعات مقاله

مقاله پژوهشی کامل

دریافت: 31 تیر 1394

پذیرش: 13 مهر 1394

ارائه در سایت: 02 دی 1394

کلید واژگان:

تنش برشی ضخامتی

شکل دهی ورق

مدل مارشینیاک-کوزینسکی

نمودار حد شکل دهی

چکیده

استفاده از نمودارهای حد شکل دهی در طراحی فرآیند تولید قطعات، یکی از روش‌های مرسوم شکل دهی ورق‌های فلزی است. از این رو تاکنون کارهای متعددی در زمینه بررسی منحنی‌های حد شکل دهی انجام یافته است. روش‌های مختلف به دست آوردن این منحنی‌ها و همچنین عوامل مختلف مؤثر بر آن‌ها، مورد بررسی قرار گرفته‌اند. اشکالی که به اکثر کارهای انجام شده قبلی وارد است، حالت تنشی است که در تعیین این نمودارها فرض شده است. در اکثر این فرآیندها مانند شکل دهی تدریجی، تنش برشی ضخامتی، در ورق ایجاد می‌شود. در این نوع فرآیندهای شکل دهی، نمودار حد شکل دهی بدست آمده با رفتاری متفاوت از نموداری‌های معمول ظاهر می‌شود که حاکی از بهبود شکل پذیری است. حال آن که تأثیر وجود تنش برشی ضخامتی و محدوده اثر گذاری آن بررسی نشده است. در این مقاله تنش برشی ضخامتی به صورت تحلیلی در مدل مارشینیاک - کوزینسکی اعمال شده و مورد بررسی قرار گرفته است. از روش نیوتن - رافسون جهت حل معادلات استفاده شده است. محدوده اثر گذاری این تنش شناسایی و آزمون ناکازیمما به عنوان مطالعه موردی بررسی شد. نتایج حاکی از این است که تنش برشی ضخامتی کمتر از 10 درصد تنش تسلیم، تأثیر قابل توجهی بر نمودار حد شکل‌پذیری ندارد.

Investigation on the effective range of the through thickness shear stress on forming limit diagram using a modified Marciniak-Kuczynski model

Ahmad Ghazanfari¹, Ahmad Assempoor^{1*}, Mostafa Habibi¹, Ramin Hashemi²

1- School of Mechanical Engineering, Sharif University of Technology, Tehran, Iran

2- School of Mechanical Engineering, Iran University of Science and Technology, Tehran, Iran

* P.O.B. 11365-9567, Tehran, Iran, assem@sharif.edu

ARTICLE INFORMATION

Original Research Paper
Received 22 July 2015
Accepted 05 October 2015
Available Online 23 December 2015

Keywords:

Through thickness shear stress
Sheet metal forming
Marciniak-Kuczynski model
Forming limit diagram

ABSTRACT

Use of Forming limit diagrams (FLD) in process design of metal forming is a conventional method. Therefore many experimental and theoretical efforts have been carried out in order to investigate the FLDs. Many ways to obtain this FLDs and their effective parameters have been studied. But the stress state at these studies is planar which lead to an untrue model for several metal forming process such as incremental sheet forming. With this technique, the forming limit curve (FLC) appears in a different pattern, revealing an enhanced formability, compared to conventional forming techniques. Therefore, in this study, the effect of through thickness shear stress has been examined on the prediction of the forming limit diagrams (FLDs). Determination of the FLD is based on the Marciniak and Kuczynski (M-K) model with some modifications on the stress states for consideration of the through thickness shear stress effects. Also, the effective range of this stress has been investigated. The results showed that if the through thickness shear stress has a 10 per cent of yield stress value, this stress component has no effect on the FLD.

1- مقدمه

یکی از عیب‌های بسیار مهم و متداول در این فرآیندهاست که معمولاً به صورت یک گلوئی موضعی آغاز می‌شود؛ بنابراین در طراحی فرآیندهای ورق کاری دانستن این موضوع که کرنش‌های بیشینه در ورق پیش از گلوئی شدن، چه اندازه است، از اهمیت بسیار بالایی برخوردار است. با دانستن این کرنش‌های حدی، طراح یک قطعه می‌تواند پیش از ساخت محصول، کرنش‌های پدید آمده در اثر فرآیند شکل‌دهی را به کمک روش‌های تحلیلی

محصولات و قطعات بسیاری مانند بدنه خودرو، لوازم خانگی و محصولات صنایع غذایی به روش شکل‌دهی ورق‌های فلزی ساخته می‌شوند. از همین رو، پژوهش‌های گسترده‌ای برای بهتر کردن این فرآیندها و کاهش عیب‌های موجود در آن‌ها انجام شده است. با وجود گوناگونی فرآیندهای شکل‌دهی ورق، گسیختگی در بخش‌هایی از قطعه که در آن کرنش از اندازه مجاز بیشتر است،

Please cite this article using:

A. Ghazanfari, A. Assempoor, M. Habibi, R. Hashemi, Investigation on the effective range of the through thickness shear stress on forming limit diagram using a modified Marciniak-Kuczynski model, *Modares Mechanical Engineering*, Vol. 16, No. 1, pp. 137-143, 2016 (in Persian)

برای ارجاع به این مقاله از عبارت ذیل استفاده نمایید:

آلود و شوولر [18] مدل مارشینیاک-کوزینسکی را جهت اعمال بارگذاری که تمام شش مؤلفه ماتریس متقارن تانسور تنش را شامل می‌شود، توسعه دادند. آن‌ها نمودار حد شکل‌پذیری جامعی پیشنهاد کردند و نشان دادند که هم تنش نرمال فشاری و هم تنش برشی ضخامتی، نمودار شکل‌دهی را ارتقا می‌دهند. در آن تحقیق، ناهمسانگردی در نظر گرفته نشده است.

در فرایندهایی نظیر شکل‌دهی تدریجی، تنش برشی ضخامتی نقش مهمی در شکل دهی ورق ایفا می‌کند؛ از این رو، استفاده از مدل ابتدایی مارشینیاک-کوزینسکی و منحنی‌های به‌دست‌آمده بر اساس آن، چندان منطقی به نظر نمی‌رسد؛ پس لازم است برای پیش‌بینی هرچه بهتر رفتار ماده در این‌گونه عملیات‌ها از تئوری دقیق‌تری استفاده شود. ایکنز و همکاران [19] تنش برشی ضخامتی را در فضای کرنش در مدل مارشینیاک-کوزینسکی اعمال کردند و گلوبی شدن موضعی را در شکل‌دهی ورق‌های فلزی، پیش‌بینی کردند. در این مقاله، تنش برشی ضخامتی به صورت تحلیلی در فضای تنش در معادلات وارد شده و نمودارهای حد کرنش شکل‌دهی استخراج شده است. همچنین در مواردی مانند آزمایش ناکازیم، تنش برشی ضخامتی نیز در ورق ایجاد می‌شود که در مدل‌های پیشین از آن صرف نظر شده است. در این پژوهش محدوده‌ای برای صرف نظر کردن از تنش برشی ضخامتی در تحلیل ارائه شده است و آزمون ناکازیم به عنوان مطالعه موردی، جهت بررسی انتخاب شد.

2- مدل اولیه مارشینیاک-کوزینسکی

مارشینیاک و کوزینسکی در روش خود فرض کردند که یک ناهمگنی آغازین در ورق به شکل کاهش اندک ضخامت وجود دارد که ورق را به دو ناحیه ماتریس (a) و شیار (b) تقسیم می‌کند (شکل 1)؛ به طوری که با اعمال کرنش، ناهمگنی موجود به صورت تدریجی تا رسیدن به گلوبی گسترش می‌یابد. این ناهمگنی برای ایجاد گلوبی در ورق معرفی شده است. مشخصات ماده که در تحلیل الگوریتم لازم است می‌تواند شامل، n ، توان کارسختی، k ، ضریب استحکام ماده، f_0 ؛ ضریب ناهمگنی (غیریکنواختی) اولیه، $\alpha\gamma$ ، نسبت تنش‌های درون صفحه‌ای¹ در منطقه سالم و r ضریب ناهمسانگردی نرمال باشند. مقادیر تنش و کرنش در منطقه سالم به راحتی قابل محاسبه می‌باشند، زیرا فرض می‌شود که در این منطقه تنش و کرنش برشی در جهت نورد (1) و همچنین جهت عرضی (2) وجود ندارد و تمامی اجزای تنش و کرنش در این جهات، مقادیر اصلی هستند (شکل 1). با تشکیل ماتریس تنش در جهات اصلی (محور نورد (1)، محور عرضی (2) و جهت نرمال (3)) مؤلفه‌های آن در جهت شیار با استفاده از ماتریس دوران به دست می‌آید.

$$[\sigma]_{ntz} = T^T[\sigma]_{123T} \quad (1)$$

با استفاده از قوانین سیلان (لوی میزز) می‌توان مقادیر جزء کرنش را به دست آورد:

$$d\varepsilon_{ij} = d\lambda \frac{\partial \bar{\sigma}_{ij}}{\partial \sigma_{ij}} \quad (2)$$

که در آن $d\lambda$ ضریب ثابت لحظه‌ای هست و به صورت زیر تعریف می‌گردد:

$$d\lambda = d\bar{\varepsilon} \quad (3)$$

همچنین مقدار جزء کرنش در جهت 3 را می‌توان از تراکم ناپذیری به دست آورد.

یا عددی برآورد کند و با کرنش‌های مجاز مقایسه کند و زمان گسیختگی ورق را پیش‌بینی نماید.

از آنجایی که پیش‌بینی گلوبی شدن یکی از پارامترهای مهم در شکل دهی فلزات است، محققان زیادی در این زمینه تحقیق کرده‌اند که نتیجه آنها ارائه مدل‌های مختلفی جهت پیش‌بینی حدگلوبی شدن از قبیل مدل مارشینیاک-کوزینسکی [1] و مدل دوشاخه‌ایی [2] است.

در مدل مارشینیاک-کوزینسکی [1]، فرض بر این است که کرنش موضعی در محلی از ورق که دارای ناهمگنی هندسی (شیار) است، اتفاق می‌افتد. راستای شیار در جهت کرنش کوچکتر است. ورق تحت بارگذاری تناسبی و حالت تنش به صورت صفحه‌ای است. با این فرضیات، فقط سمت راست منحنی حد شکل‌دهی تعیین می‌شود. هاجینسون و نیل [3] مدل مارشینیاک-کوزینسکی را با دوران دادن جهت شیار بهبود بخشیدند و کمترین مقدار کرنش را به عنوان کرنش‌های حدی گزارش کردند. همچنین آنها با در نظر گرفتن مسیر کرنش منفی، سمت چپ نمودار حد شکل‌دهی را نیز بدست آوردند.

در روش مارشینیاک-کوزینسکی، تاکنون تحقیقات بسیار در مورد عوامل مختلف مؤثر بر نتایج منحنی‌های حد شکل‌دهی صورت پذیرفته است. روش‌های مختلف به دست آوردن این منحنی‌ها و همچنین عوامل مختلف مؤثر بر آن‌ها، از قبیل ناهمسانگردی، نمای حساسیت به کرنش و معیارهای تسلیم مختلف مورد بررسی قرار گرفته‌اند. اما اشکالی که به اکثر کارهای انجام‌شده قبلی وارد است، حالت تنشی است که در تحویل این نمودارها در نظر گرفته شده است. نمودار حد شکل‌دهی در فضای کرنش بسیار به مسیر کرنش وابسته است. از طرف دیگر، زمانی که بارگذاری متناسب نباشد؛ نمودار بدست آمده از روش مارشینیاک-کوزینسکی به اندازه کافی دقیق نیست. آریوکس و بویون [4] نمودار حد تنش شکل‌دهی را ارائه نمودند. نتایج آزمایشگاهی و تئوری حاکی از این است که این نمودار نسبت به نمودار حد کرنش شکل‌دهی، بسیار کمتر حساس به مسیر کرنش است [4-6].

لیان و همکاران [7] ناهمسانگردی ماده را در مدل مارشینیاک-کوزینسکی گنجانده و تاثیر تابع تسلیم بر پیش‌بینی حد شکل‌دهی را بررسی کردند.

جهت بهبود دقت پیش‌بینی کرنش‌های حد شکل‌دهی، یاو و کاو [8] مدل مارشینیاک-کوزینسکی را با یک معیار تسلیم ناهمسانگرد کلی که توسط کارافیلیس و بوییس [9] توسعه داده شده است، ترکیب کردند. گنجیانی و عاصم‌پور [10] نمودار حد شکل‌دهی را بر اساس مدل مارشینیاک-کوزینسکی با استفاده از توابع تسلیم هاسفورد و بی بی سی 2000 بدست آوردند. آنها از معادله انرژی به عنوان معادله چهارم در یافتن پارامترهای مجهول شیار استفاده کردند. تاثیر پارامترهای دیگر نظیر خواص ماده، خواص ناهمسانگرد، حساسیت به نرخ کرنش، اندازه دانه و غیره نیز بر پیش‌بینی نمودار حد شکل‌دهی مورد بررسی قرار گرفته است [11-15].

اسمیت و همکاران [16] مدلی جهت پیش‌بینی شکل‌پذیری ورق‌های فلزی با در نظر گرفتن تنش نرمال ضخامتی ارائه کردند. آنها مدل نگاشت تنش صفحه‌ای استوگن [17] را جهت اعمال تنش نرمال تعمیم دادند. نمودار حد شکل‌دهی بر پایه تنش صفحه‌ای جهت بدست آوردن نموداری با در نظر گرفتن تنش نرمال استفاده شد. در این تحقیق، حساسیت به نرخ کرنش مورد بررسی قرار نگرفته است.

$$f \frac{\sigma_{nt}^b}{\sigma_{nt}^a} = 1 \quad (14)$$

همان طور که قبلا عنوان شد، در ناحیه شیاری چهار مجهول $d\bar{\epsilon}^b$ و $\sigma_{nn}^b, \sigma_{tt}^b, \sigma_{nt}^b$ وجود دارد. در حال حاضر سه معادله کمکی در دسترس است که از آن ها برای به دست آوردن این مجهولات می توان استفاده کرد. این معادلات شامل معادله سازگاری کرنش ها و دو معادله تعادل نیروهاست. برای کامل تر شدن معادلات می توان از معادله انرژی در منطقه شیاردار استفاده کرد که بدین صورت تعریف می گردد:

$$(d\epsilon_{nn}^b \sigma_{nn}^b + d\epsilon_{tt}^b \sigma_{tt}^b + d\epsilon_{nt}^b \sigma_{nt}^b) - d\bar{\epsilon}^b \bar{\sigma}_Y = 0 \quad (15)$$

که در آن $\bar{\sigma}_Y$ تنش مؤثر ناشی از قانون کارسختی را به دست می دهد که معمولا تابعی از کرنش مؤثر پلاستیک $\bar{\epsilon}$ هست.

باید به این نکته اشاره شود که این معادله، متفاوت با معادله انرژی استفاده شده در استخراج منحنی های حد شکل دهی با فرض برقراری حالت تنش صفحه ای هست. برای محاسبه مجهولات ناحیه شیاردار، روش عددی نیوتن-رافسون استفاده شده است. برای این کار، توابع چنین انتخاب شده است:

$$F_1 = \frac{(d\epsilon_{nn}^b \sigma_{nn}^b + d\epsilon_{tt}^b \sigma_{tt}^b + d\epsilon_{nt}^b \sigma_{nt}^b)}{d\bar{\epsilon}^b \bar{\sigma}_Y} - 1 = 0 \quad (16)$$

$$F_2 = \frac{d\epsilon_{tt}^b}{d\epsilon_{tt}^a} - 1 = 0 \quad (17)$$

$$F_3 = f \frac{\sigma_{nn}^b}{\sigma_{nn}^a} - 1 = 0 \quad (18)$$

$$F_4 = f \frac{\sigma_{nt}^b}{\sigma_{nt}^a} - 1 = 0 \quad (19)$$

مزیت استفاده از چنین توابعی بی بعد بودن آن هاست. این تئوری نمی تواند گلوبی یک ورق بدون عیب و ناهمگنی را تعیین نماید که یک نقص به حساب می آید. اما از جمله نقاط قوت آن می توان به انعطاف پذیری آن در به کارگیری توابع تسلیم گوناگون و همچنین توابع سخت شوندگی متفاوت، متناسب با نوع ماده اشاره نمود. یکی دیگر از نقاط ضعف مدل آغازین مارشینیاک-کوزینسکی، فرض بارگذاری تناسبی است. نمودار حد شکل دهی پیش بینی شده با کمک این مدل در فضای کرنش، به تغییرات مسیر کرنش حساس هست. فرض تنش صفحه ای در تعیین کرنش های حدی، یکی دیگر از نقاط ضعف مدل آغازین مارشینیاک-کوزینسکی است. امروزه با توجه به گسترش استفاده از روش هایی مانند هیدروفرومینگ در صنایع گوناگون که مقدار تنش نرمال در آن ها بالا هست، به کارگیری این فرض در هر فرآیندی درست نیست. از این رو، به تازگی اثر این پارامتر در استخراج حدود شکل دهی مورد توجه قرار گرفته است.

3- اعمال تنش برشی در معادلات

زمانی که تنش های برشی ضخامت وجود داشته باشند، پهنای شیاری بایستی مورد بررسی قرار گیرد. اگر پهنای شیاری نسبت به ضخامت ورق بسیار کوچک باشد چرخش مرز ناحیه بین a و b بایستی به وسیله دستگاه مختصاتی توصیف شود که هم نسبت به محور نرمال بر صفحه و هم نسبت به یک محور در داخل صفحه می چرخد.

اگر نسبت پهنای شیاری به ضخامت ورق، بزرگ باشد چرخش مرز بین دو ناحیه را می توان نادیده گرفت. طبق اصل سنت ونانت، اگر پهنای شیاری تقریبا دو برابر ضخامت ورق باشد می توان تنش در ناحیه b را با یک تانسور ثابت تقریب زد. همچنین فرض می شود که تنش برشی بین ضخامت در هر دو ناحیه سالم و شیاریکنواخت است. اگر رفتار ماده ناهمسانگرد باشد، منحنی

$$d\epsilon_3 = -d\epsilon_1 - d\epsilon_2 \quad (4)$$

محاسبه تنش و کرنش در منطقه شیاری به سادگی منطقه سالم نیست. مجهول های این منطقه، مقادیر تنش و جزء کرنش ها هستند. مقادیر تنش شامل $\sigma_{nn}^b, \sigma_{tt}^b, \sigma_{nt}^b$ و جزء کرنش ها $d\epsilon_{nn}^b, d\epsilon_{tt}^b, d\epsilon_{nt}^b$ می باشند که در آن ها اندیس پایین نشانه جهت متغیر و اندیس بالا نشانه منطقه شیاردار است.

از آنجا که با استفاده از قوانین سیلان (لوی میزز) مقادیر جزء کرنش تابعی از $d\bar{\epsilon}^b$ و $\sigma_{nn}^b, \sigma_{tt}^b, \sigma_{nt}^b$ می باشند، پس مجهول های این منطقه به $d\bar{\epsilon}^b$ و $\sigma_{nn}^b, \sigma_{tt}^b, \sigma_{nt}^b$ کاهش می یابد. برای محاسبه ی این مجهول ها، نیاز به یک سری معادلات کمکی است که به شرح زیر به دست می آیند. یکی از شرایطی که بین دو منطقه شیاردار و سالم وجود دارد، سازگاری کرنش هاست. با وجود این شرط، کرنش های هر دو منطقه در جهت مماس بر شیاری (t) با هم برابرند.

$$d\epsilon_{tt}^a = d\epsilon_{tt}^b \quad (5)$$

معادلات تعادل نیروها در جهت شیاری به صورت زیر می باشند:

$$F_{nn}^a = F_{nn}^b \quad (6)$$

$$F_{nt}^a = F_{nt}^b \quad (7)$$

که در آن اندیس n و t به ترتیب بیانگر جهت عمود و مماسی شیاری می باشند و F نیرو در واحد عرض در جهت t است. هر یک از طرفین معادلات تعادل نیروها (6-7) را می توان بر حسب تنش و کرنش چنین نوشت:

$$F_{nn}^a = \sigma_{nn}^a \exp(\epsilon_{zz}^a) t_0^a \quad (8)$$

$$F_{nn}^b = \sigma_{nn}^b \exp(\epsilon_{zz}^b) t_0^b \quad (9)$$

$$F_{nt}^a = \sigma_{nt}^a \exp(\epsilon_{zz}^a) t_0^a \quad (10)$$

$$F_{nt}^b = \sigma_{nt}^b \exp(\epsilon_{zz}^b) t_0^b \quad (11)$$

بر $ghorbaghe chand ta pa dare$ ساده تر شدن روابط فوق، از ضریب غیریکنواختی¹ که به صورت نسبت ضخامت ورق در ناحیه شیاردار به ضخامت آن در ناحیه سالم تعریف می شود $f = t^b/t^a$ استفاده می گردد. اگر این ضریب بر حسب کرنش ها نوشته شود، معادله 12 بدست خواهد آمد:

$$f = f_0 \exp(\epsilon_{zz}^b - \epsilon_{zz}^a) \quad (12)$$

که در آن f_0 ضریب غیریکنواختی اولیه ورق هست. با استفاده از این ضریب، معادلات تعادل نیرو به صورت زیر ساده می شوند:

$$f \frac{\sigma_{nn}^b}{\sigma_{nn}^a} = 1 \quad (13)$$

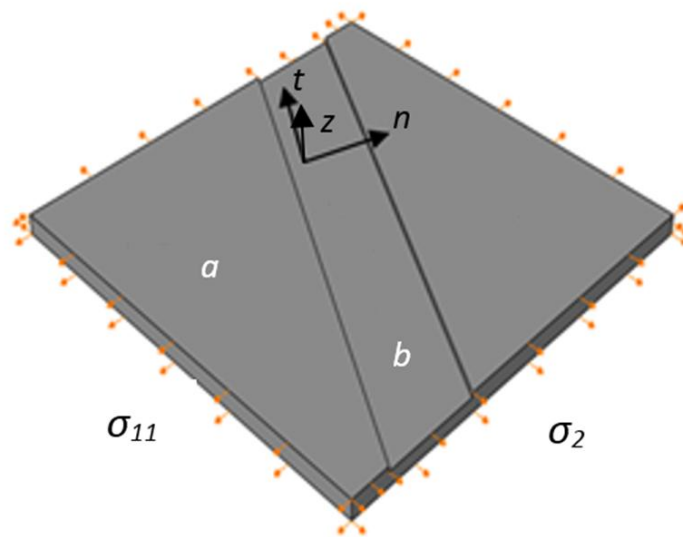


Fig. 1 Schematic of M-K model

شکل 1 نمای مدل مارشینیاک-کوزینسکی

1- Imperfection factor

حال آنکه مدل های پیش بینی حد شکل پذیری، مانند مدل مارشینیاک-کوزینسکی از در نظر گرفتن این مؤلفه ماتریس تنش، صرف نظر می کند. در این مقاله، محدوده تاثیرگذاری این مؤلفه بررسی شده است. با استفاده از مدل بهبود یافته مارشینیاک-کوزینسکی این محدوده بررسی شد. ابتدا مقادیر مختلفی از تنش برشی ضخامتی در این مدل وارد شد. سپس این محدوده با استفاده از نسبت تنش برشی ضخامتی به تنش در راستای 1 (α_{xz}) نیز بیان شد.

6- مطالعه موردی

آزمون استاندارد ناکازیما [20] یکی از پرکاربردترین آزمون ها جهت تعیین نمودار حد شکل دهی ورق ها و همچنین مورد استفاده جهت اعتبارسنجی

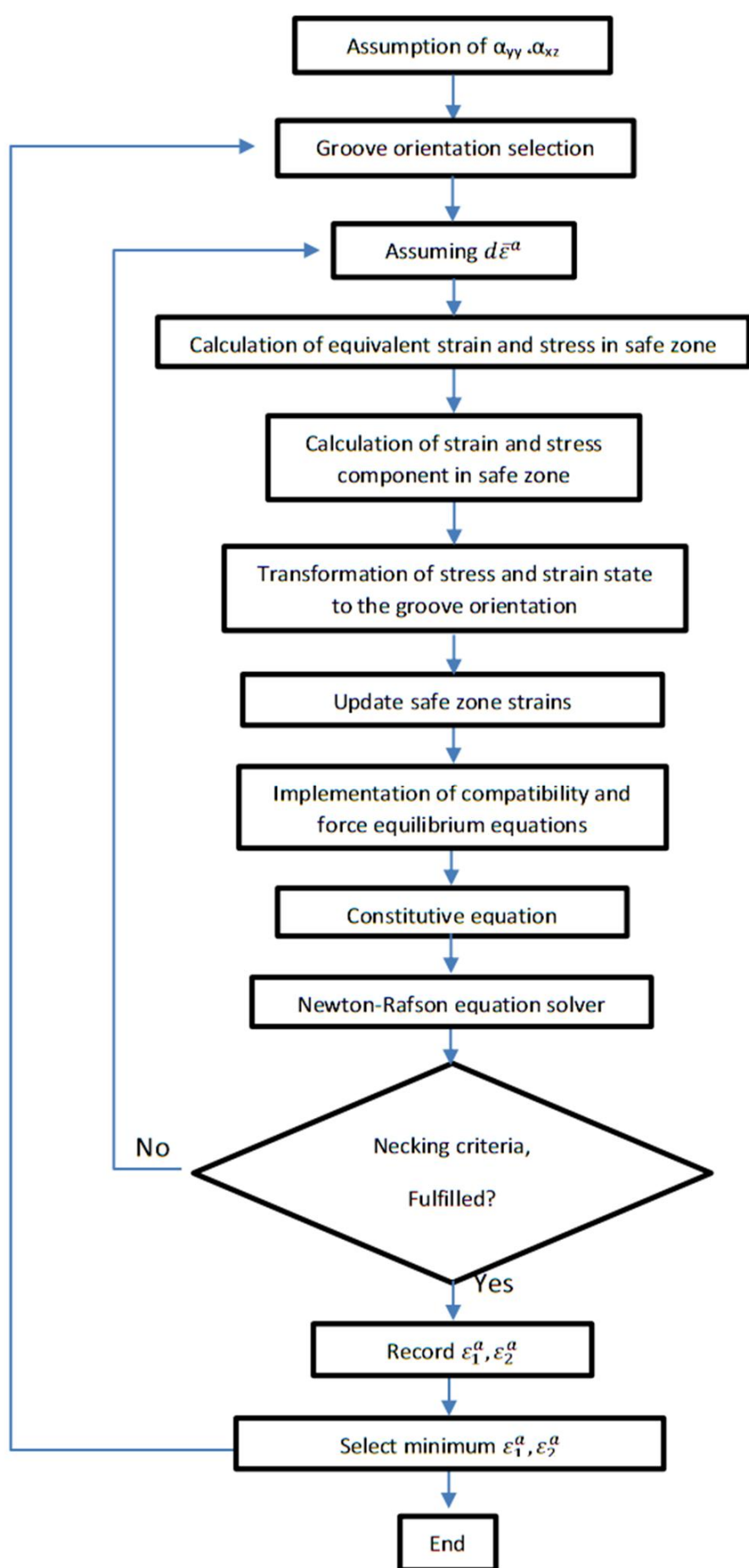


Fig. 2 Algorithm of FLD computation

شکل 2 الگوریتم محاسبه نمودار حد شکل دهی

حد شکل دهی وابسته به زاویه بین راستای تنش اصلی و محورهای ارتوتروپیک و همچنین وابسته به چرخش این محورها در طی فرایند تغییر شکل و در هر دو ناحیه می باشند. در این مقاله، از معیار تسلیم وون میز استفاده شده و از ناهمسانگردی ورق صرف نظر شده است. تانسور تنش در ناحیه سالم با فرض وجود تنش برشی ضخامتی به صورت زیر می باشد:

$$\sigma^a = \begin{pmatrix} \sigma_{xx} & 0 & \sigma_{xz} \\ 0 & \sigma_{yy} & 0 \\ \sigma_{zx} & 0 & 0 \end{pmatrix} = \sigma_{xx} \times \begin{pmatrix} 1 & 0 & \alpha_{xz} \\ 0 & \alpha_{yy} & 0 \\ \alpha_{zx} & 0 & 0 \end{pmatrix} \quad (20)$$

که $\alpha_{xz} = \alpha_{zx}$ است. با توجه به مؤلفه های تنش در منطقه سالم،

تانسور تنش در دستگاه متصل به شیار از رابطه زیر به دست می آید:

$$[\sigma]_{ntz} = T^T [\sigma]_{123} T \quad (21)$$

محاسبات کرنش در منطقه سالم نیز مانند مدل اولیه، با استفاده از روابط

سیلان، انجام می شود با این تفاوت که در این شرایط، کرنش برشی $d\epsilon_{xz}^a$ نیز وارد می شود

$$d\epsilon_{xz}^a = 12 \times \tau_{xz} \quad (22)$$

همچنین با استفاده از ماتریس دوران، کرنش های منطقه سالم در دستگاه متصل به شیار به دست می آید. در منطقه شیار 11 پارامتر مجهول وجود دارد که با استفاده از قانون شارش پارامترهای مجهول به 5 عدد کاهش می یابند که عبارتند از:

$$X = [\sigma_{nn}^b \ \sigma_{tt}^b \ \sigma_{nt}^b \ \sigma_{nz}^b \ d\bar{\epsilon}^b] \quad (23)$$

معادلات کمکی برای به دست آوردن مجهولات مانند مدل اولیه می باشد

به جز معادله انرژی که عبارت $d\epsilon_{nz}^b \sigma_{nz}^b$ در آن گنجانده شده است.

$$F_1 = \frac{(d\epsilon_{nn}^b \sigma_{nn}^b + d\epsilon_{tt}^b \sigma_{tt}^b + d\epsilon_{nt}^b \sigma_{nt}^b + d\epsilon_{nz}^b \sigma_{nz}^b)}{d\bar{\epsilon}^b \bar{\sigma}_Y} - 1 = 0 \quad (24)$$

الگوریتم حل معادلات و به دست آوردن منحنی حد شکل دهی در شکل

2 آورده شده است. برای حل معادلات از روش نیوتن-رافسون استفاده شده است.

4- مدل ماده

برای ماده ماتریس و شیار تابع تسلیم وون میز مورد استفاده قرار گرفته است. ورق با جنس فولاد 1010 مورد بررسی قرار گرفته است. ترکیب شیمیایی ورق با استفاده از آنالیز شیمیایی تعیین و در جدول 1 آورده شده است. خواص مکانیکی و پارامترهای شکل دهی این فولاد در جدول 2 نشان داده شده است. پارامترهای خواص مکانیکی مانند توان و ضریب کار سختی و ضرایب ناهمسانگردی با استفاده از آزمون استاندارد ASTM-E8 با سرعت 2 میلی متر بر دقیقه تعیین می شود. جهت مدل کردن رابطه تنش-کرنش واقعی در منطقه پلاستیک از قانون کار سختی هولومون که مطابق رابطه 25 می باشد، استفاده شده است.

$$\bar{\sigma} = K(\bar{\epsilon})^n \quad (25)$$

برای کالیبراسیون از آزمون کشش انجام شده در آزمایشگاه استفاده شده

است. یک نمونه آزمون کشش آماده و سطح آن شبکه بندی و این نمونه تحت آزمایش کشش قرار می گیرد. سپس به محض آنکه در نمونه گلوئی موضعی مشاهده شد آزمایش را متوقف و کرنش های اصلی و فرعی اطراف منطقه گلوئی موضعی خوانده می شود. نتایج آزمون کشش در جدول 3 آمده است.

5- تعیین محدوده اثرگذاری تنش برشی ضخامتی

تنش برشی ضخامتی در اکثر فرایندهای شکل دهی در ورق بوجود می آید.

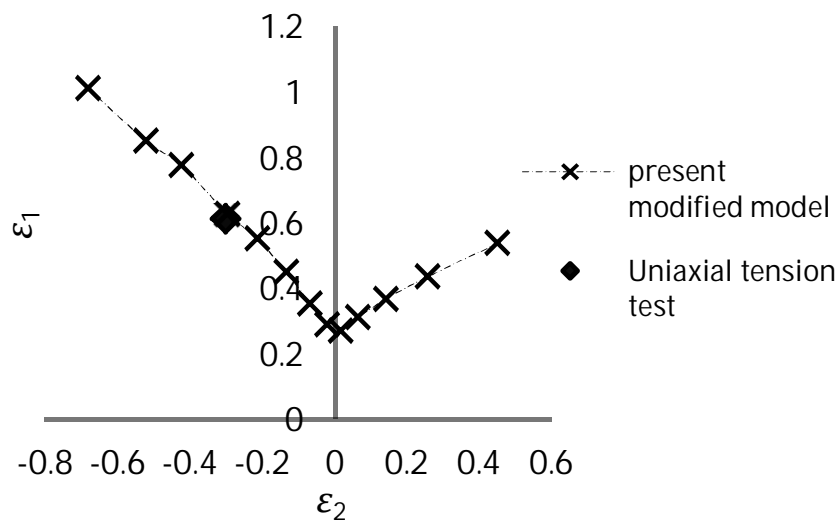


Fig. 4 FLD obtain from theoretical model calibrated with tension test results

شکل 4 نمودار حد شکل دهی بدست آمده از حل تحلیلی و کالیبره شده با آزمون کشش

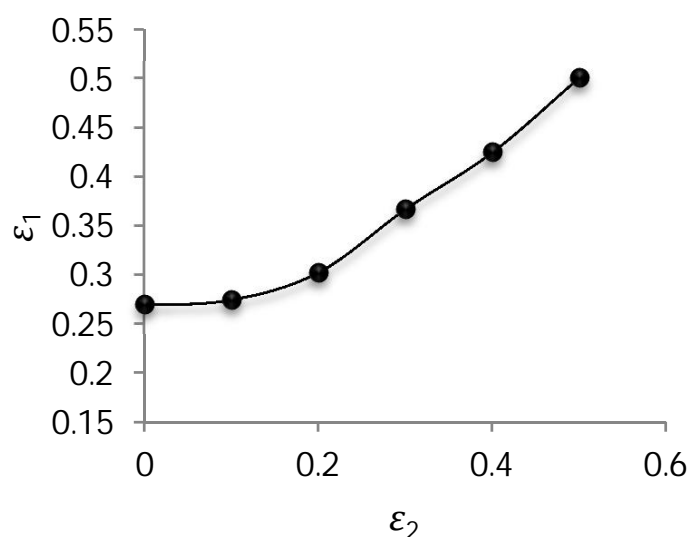


Fig. 5 Diagram of FLD₀ vs. α_{xz}

شکل 5 نمودار FLD₀ برحسب α_{xz}

انجام گرفت که مقدار ضریب ناهمگنی اولیه برابر 0.986 به دست آمد. با مقدار تعیین شده برای ضریب ناهمگنی، تأثیر وجود تنش برشی ضخامتی بررسی شد. شکل 5، FLD₀ را در نسبت‌های مختلف تنش برشی ضخامتی نشان می‌دهد.

با توجه به شکل 5 می‌توان محدوده تأثیر گذاری تنش برشی ضخامتی را با توجه به تغییر نقطه کرنش صفحه‌ای، تعیین کرد. در صورتی که نسبت تنش برشی ضخامتی به تنش در راستای 1 بیشتر از 0.10 نباشد؛ می‌توان از این مؤلفه تانسور تنش صرف‌نظر کرد.

7-2- شبیه‌سازی

با توجه به شبیه‌سازی انجام گرفته، متوسط میزان تنش برشی ضخامتی در نمونه‌های مختلف آزمون ناکازیمما در محل گلویی شدن نمونه، در جدول 4 گزارش شده است. جهت یافتن زمان و محل گلویی شدن نمونه، از کانتور کرنش پلاستیک مؤثر استفاده شده است، به این صورت که با بررسی این کانتور در زمان انجام فرآیند شبیه‌سازی، زمانی که میزان نرخ تغییرات کرنش مؤثر یک ناحیه از المان‌ها نسبت به المان‌های مجاور آن تقریباً 7 برابر شد، آن المان‌ها به عنوان منطقه گلویی شدن در نظر گرفته می‌شوند و زمان و ناحیه گلویی شدن بدست می‌آید [21]. شکل‌های 5 تا 11 کانتور کرنش پلاستیک و تنش برشی ضخامتی در جهت xz را نشان می‌دهند. با استفاده از این مقادیر در حل تحلیلی، نمودار شکل 12 بدست می‌آید.

جدول 1 خواص شیمیایی ورق

Table 1 Sheet chemical properties

Fe	C	Si	Mn	P	S
پایه	0.0441	0.0054	0.195	0.0045	0.0023
Ni	Mo	Al	Co	Cu	Nb
0.028	0.0001	0.0484	0.005	0.0117	0.0001
V	W	Pb	Sn	As	Zr
0.002	0.006	0.0037	0.003	0.0004	0.0006
Sb	Ta	B	Zn	Cr	Ti
<0.00050	<0.0010	0.0013	0.0031	0.0047	0.0006

جدول 2 خواص مکانیکی

Table 2 Mechanical properties

r_{90}	r_{45}	r_0	توان کار سختی	ضریب استحکام (MPa)	استحکام تسلیم (MPa)	مدول یانگ (GPa)
2.45	1.13	2.68	0.305	601	188	201

جدول 3 نتایج حاصل از آزمون کشش

Table 3 Tension test results

کرنش اصلی	کرنش فرعی
0.615	-0.301

مدل‌های ارائه شده مختلف، با فرض شرایط تنش صفحه‌ای، است. جهت بدست آوردن تخمینی از مقدار تنش برشی ایجاد شده در آزمون استاندارد ناکازیمما از شبیه‌سازی در نرم‌افزار آباکوس استفاده شده است. در این شبیه‌سازی ورق به صورت شکل‌پذیر و با استفاده از المان سه بعدی پیوسته C3D8R جهت محاسبه تنش برشی ضخامتی ایجاد شده، مدل‌سازی شد. قالب، ورق‌گیر و سنبه هم به صورت جسم صلب در نظر گرفته شده است. همچنین المان‌های ورق با اندازه 0.002 مش‌بندی شده‌اند. شکل 2 مدل را نشان می‌دهد. انتخاب اندازه و نوع المان تأثیر قابل توجهی بر جواب‌های مسأله دارد که بایستی با روش سعی و خطا المان مناسب برای شبیه‌سازی مشخص شود. با کوچک کردن اندازه مش و مقایسه‌ی جواب‌های بدست آمده، در شرایطی که جواب‌ها تغییر قابل توجهی نکنند، اندازه مناسب مش بدست می‌آید.

7- نتایج

7-1- حل تحلیلی

با حل تحلیلی معادلات مدل بهبود یافته مارشینیاک-کوزینسکی، با استفاده از نرم‌افزار متلب، نمودار حد شکل دهی مربوط به فولاد مورد بررسی به دست آورده شد. شکل 4 منحنی حد شکل دهی، در حالتی که تنش برشی ضخامتی برابر صفر است؛ را نشان می‌دهد. با استفاده از آزمون کشش کالیبراسیون

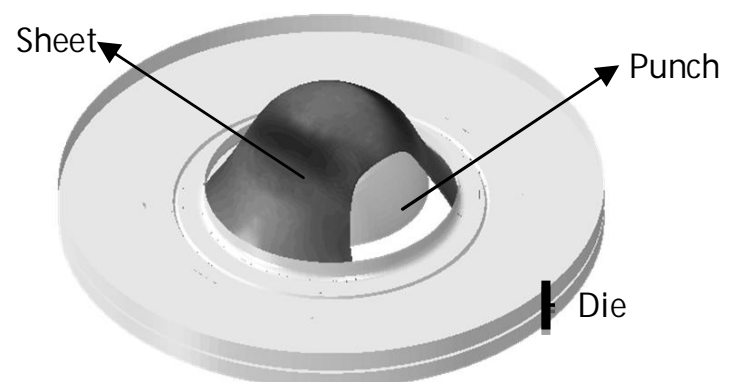


Fig. 3 Plain strain sample of simulated Nakazima test

شکل 3 نمونه کرنش صفحه‌ای آزمون ناکازیمما شبیه‌سازی شده

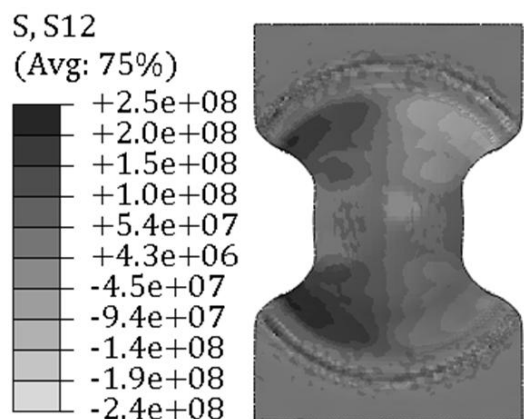


Fig. 9 Through thickness shear stress contour of plain strain sample (MPa)

شکل 9 کانتور تنش برشی ضخامتی نمونه کرنش صفحه‌ای (MPa)

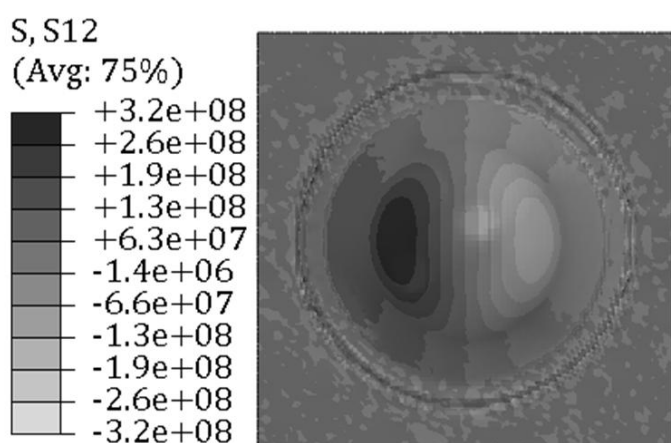


Fig. 10 Through thickness shear stress contour of biaxial stretching sample (MPa)

شکل 10 کانتور تنش برشی ضخامتی نمونه کشش دوماحوره (MPa)

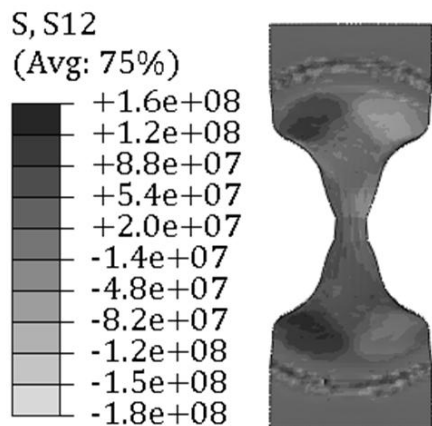


Fig. 11 Through thickness shear stress contour of uniaxial tension sample (MPa)

شکل 11 کانتور تنش برشی ضخامتی نمونه کشش تک محوره (MPa)

8- نتیجه‌گیری

با توجه به نمودار شکل 13 همان‌طور که مشاهده می‌شود، منحنی بدست آمده با در نظر گرفتن مقدار تنش برشی ضخامتی ایجاد شده در آزمون ناکازیما، از تطابق دقیقی در سمت چپ و حالت کرنش صفحه‌ای با نتایج تجربی برخوردار است، حال آن‌که، در سمت راست مدل ارائه شده، نتایج محتاطانه‌ای را نسبت به نتایج تجربی نشان می‌دهد. حال آن‌که، مدل معمول مارشینیاک-کوزینسکی از تطابق ضعیف‌تری با نتایج تجربی نسبت به مدل ارائه شده برخوردار است. همان‌طور که در شکل های 5-10 مشاهده می‌شود، شکست ورق در منطقه‌ای ایجاد می‌شود که تنش برشی ضخامتی آن منطقه بسیار کمتر از تنش تسلیم ورق می‌باشد؛ که دلیلی بر این است که تنش برشی ضخامتی باعث افزایش شکل پذیری می‌شود. با توجه به بررسی های

جدول 4 متوسط تنش برشی در نمونه‌ها

Table 4 Through thickness stress mean of samples

کشش تک‌محوره	کرنش صفحه‌ای	کشش دوماحوره	نمونه
40.3	45.3	52.1	متوسط تنش برشی (MPa)

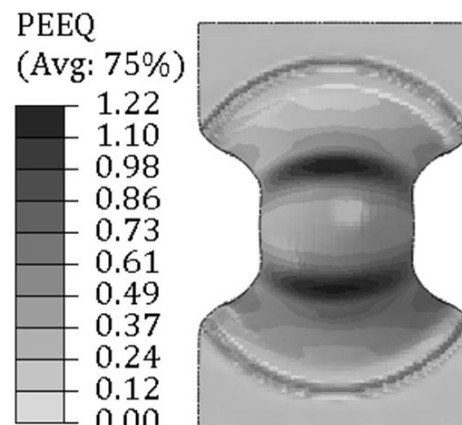


Fig. 6 Effective plastic strain contour of plain strain sample

شکل 6 کانتور کرنش پلاستیک مؤثر نمونه کرنش صفحه‌ای

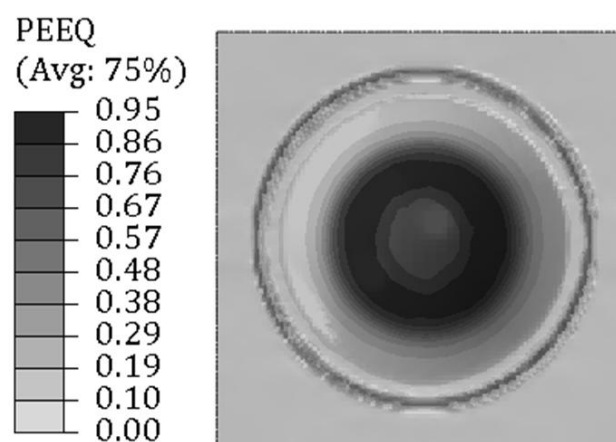


Fig. 7 Effective plastic strain contour of biaxial stretching sample

شکل 7 کانتور کرنش پلاستیک مؤثر نمونه کشش دوماحوره

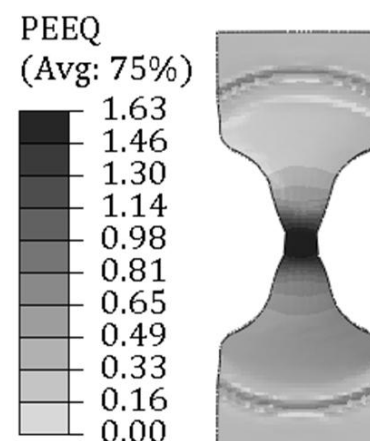


Fig. 8 Effective plastic strain contour of uniaxial tension sample

شکل 8 کانتور کرنش پلاستیک مؤثر نمونه کشش تک محوره

جهت مقایسه نتایج بدست آمده از حل تحلیلی به کمک شبیه‌سازی از نتایج ارائه شده توسط حاجیان و عاصم‌پور [22] استفاده شده است. نوع ورقی که در این مرجع مورد استفاده قرار گرفته است، دقیقاً با ورق مورد استفاده در این پژوهش یکسان است. نمودار تجربی ارائه شده در مرجع [22]، نمودار حد شکل‌دهی مدل مارشینیاک-کوزینسکی و نمودار حد شکل‌دهی حاصل از استفاده مقادیر تنش برشی ضخامتی اندازه‌گیری شده با استفاده از شبیه‌سازی در مدل تحلیلی ارائه شده در این پژوهش، در شکل 13 نشان داده شده است.

- Journal of Plasticity*, Vol. 20, No. 10, pp. 1909-1930, 2004.
- [3] J. Hutchinson, K. Neale, *Sheet necking-II. Time-independent behavior*, in: *Mechanics of sheet metal forming*, pp. 127-153: Springer, 1978.
- [4] R. Arrieux, M. Boivin, Theoretical determination of the forming limit stress curve for isotropic sheet materials, *CIRP Annals-Manufacturing Technology*, Vol. 38, No. 1, pp. 261-264, 1989.
- [5] A. Assempour, R. Hashemi, K. Abrinia, M. Ganjiani, E. Masoumi, A methodology for prediction of forming limit stress diagrams considering the strain path effect, *Computational Materials Science*, Vol. 45, No. 2, pp. 195-204, 2009.
- [6] R. Hashemi, A. Assempour, E. M. K. Abad, Implementation of the forming limit stress diagram to obtain suitable load path in tube hydroforming considering M-K model, *Materials & Design*, Vol. 30, No. 9, pp. 3545-3553, 2009.
- [7] J. Lian, F. Barlat, B. Baudelet, Plastic behaviour and stretchability of sheet metals. Part II: Effect of yield surface shape on sheet forming limit, *International journal of plasticity*, Vol. 5, No. 2, pp. 131-147, 1989.
- [8] H. Yao, J. Cao, Prediction of forming limit curves using an anisotropic yield function with prestrain induced backstress, *International journal of plasticity*, Vol. 18, No. 8, pp. 1013-1038, 2002.
- [9] A. Karafillis, M. Boyce, A general anisotropic yield criterion using bounds and a transformation weighting tensor, *Journal of the Mechanics and Physics of Solids*, Vol. 41, No. 12, pp. 1859-1886, 1993.
- [10] M. Ganjiani, A. Assempour, An improved analytical approach for determination of forming limit diagrams considering the effects of yield functions, *Journal of materials processing technology*, Vol. 182, No. 1, pp. 598-607, 2007.
- [11] A. Safikhani, R. Hashemi, A. Assempour, The strain gradient approach for determination of forming limit stress and strain diagrams, *Proceedings of the Institution of Mechanical Engineers, Part B: Journal of Engineering Manufacture*, Vol. 222, No. 4, pp. 467-483, 2008.
- [12] A. Safikhani, R. Hashemi, A. Assempour, Some numerical aspects of necking solution in prediction of sheet metal forming limits by strain gradient plasticity, *Materials & Design*, Vol. 30, No. 3, pp. 727-740, 2009.
- [13] A. F. Ávila, E. L. Vieira, Proposing a better forming limit diagram prediction: a comparative study, *Journal of materials processing technology*, Vol. 141, No. 1, pp. 101-108, 2003.
- [14] A. Assempour, M. Nurcheshmeh, *The influence of material properties on the shape and level of the forming limit diagram*, 0148-7191, SAE Technical Paper, pp. 2003.
- [15] S. Ahmadi, A. Eivani, A. Akbarzadeh, An experimental and theoretical study on the prediction of forming limit diagrams using new BBC yield criteria and M-K analysis, *Computational Materials Science*, Vol. 44, No. 4, pp. 1272-1280, 2009.
- [16] L. Smith, R. Averill, J. Lucas, T. Stoughton, P. Matin, Influence of transverse normal stress on sheet metal formability, *International Journal of Plasticity*, Vol. 19, No. 10, pp. 1567-1583, 2003.
- [17] T. B. Stoughton, A general forming limit criterion for sheet metal forming, *International Journal of Mechanical Sciences*, Vol. 42, No. 1, pp. 1-27, 2000.
- [18] J. M. Allwood, D. R. Shouler, Generalised forming limit diagrams showing increased forming limits with non-planar stress states, *International Journal of Plasticity*, Vol. 25, No. 7, pp. 1207-1230, 2009.
- [19] P. Eyckens, Albert Van Bael, and Paul Van Houtte, "Marciniak-Kuczynski type modelling of the effect of through-thickness shear on the forming limits of sheet metal.", *International Journal of Plasticity*, pp. 2249-2268, 2009.
- [20] C. Henrard, C. Bouffieux, P. Eyckens, H. Sol, J. Duflou, P. Van Houtte, A. Van Bael, L. Duchêne, A. Habraken, Forming forces in single point incremental forming: prediction by finite element simulations, validation and sensitivity, *Computational mechanics*, Vol. 47, No. 5, pp. 573-590, 2011.
- [21] R. Hashemi, H. Mamusi, A. Masoumi, A simulation-based approach to the determination of forming limit diagrams, *Proceedings of the Institution of Mechanical Engineers, Part B: Journal of Engineering Manufacture*, 0954405414522448, 2014.
- [22] M. Hajian, A. Assempour, Experimental and numerical determination of forming limit diagram for 1010 steel sheet: a crystal plasticity approach, *The International Journal of Advanced Manufacturing Technology*, Vol. 76, No. 9-12, pp. 1757-1767, 2015.

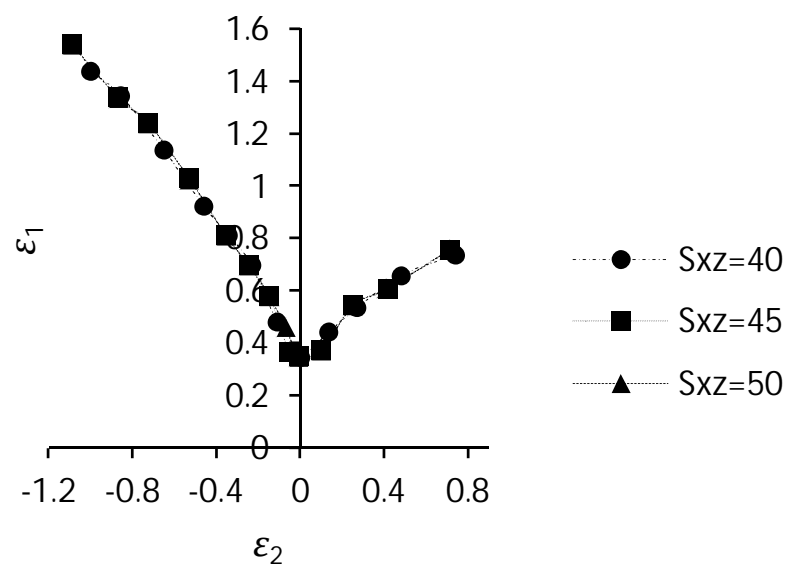


Fig. 12 FLDs with 3 different through thickness stress values (MPa)
شکل 12 نمودار حد شکل دهی با 3 مقدار تنش برشی ضخامتی مختلف (MPa)

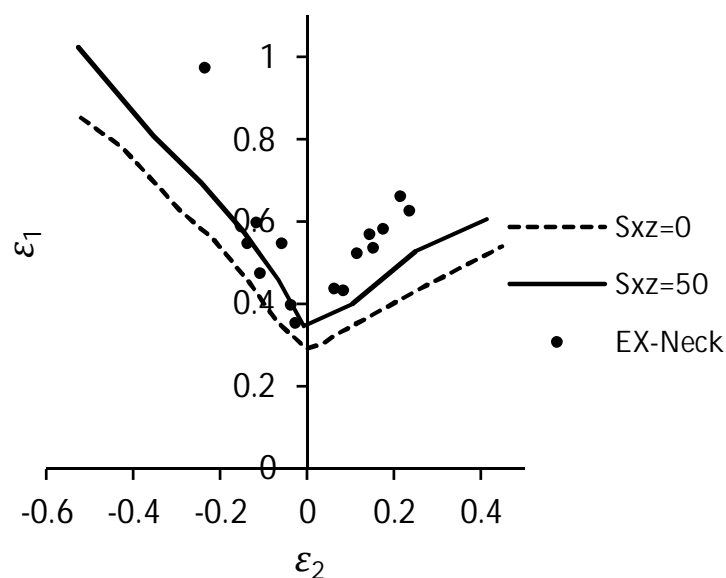


Fig. 13. Compression of three different FLDs obtained from experimental results, conventional M-K model and present model

شکل 13 مقایسه سه نمودار حاصل از آزمایش تجربی، مدل معمول مارشینیاک-کوزینسکی و مدل ارائه شده در این پژوهش

انجام شده در این مقاله، بخصوص شکل 5، این نتیجه حاصل می شود که لزومی به در نظر گرفتن تنش برشی ضخامتی در فرآیندهایی که این تنش در آن ها، بیشتر از 10 درصد تنش تسلیم نباشد، نیست.

9- مراجع

- [1] Z. Marciniak, K. Kuczynski, Limit strains in the processes of stretch-forming sheet metal, *International journal of mechanical sciences*, Vol. 9, No. 9, pp. 609-620, 1967.
- [2] K. Hashiguchi, A. Protasov, Localized necking analysis by the subloading surface model with tangential-strain rate and anisotropy, *International*